1 / 20

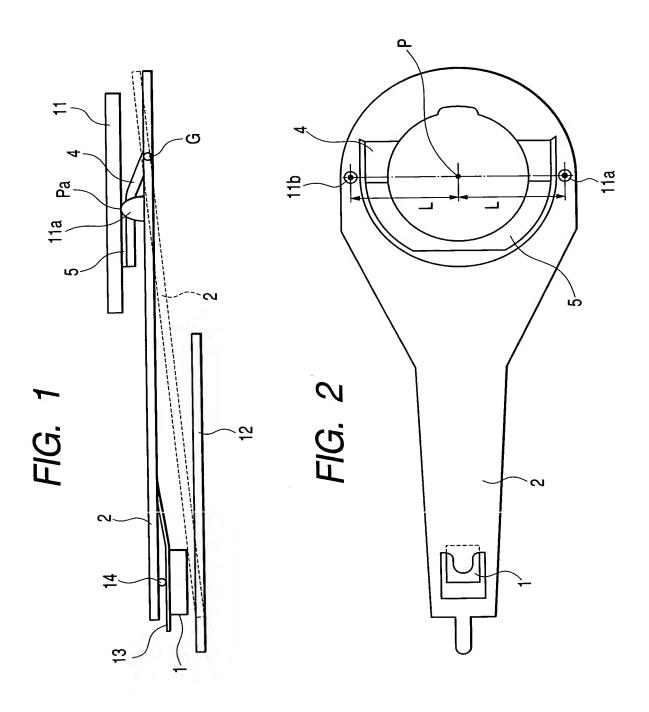


FIG. 3

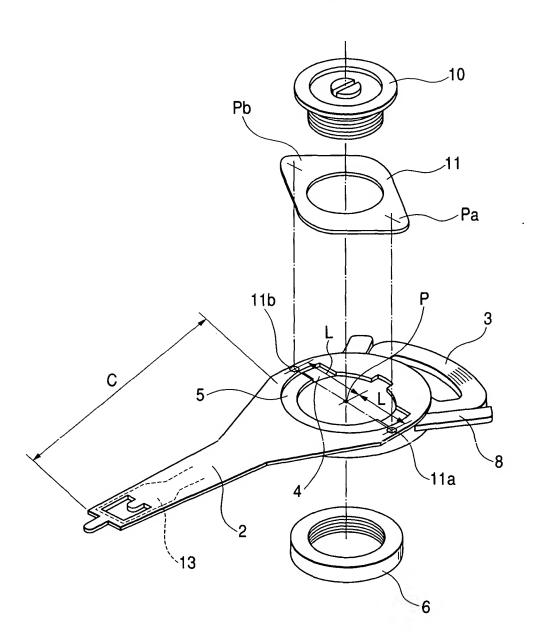
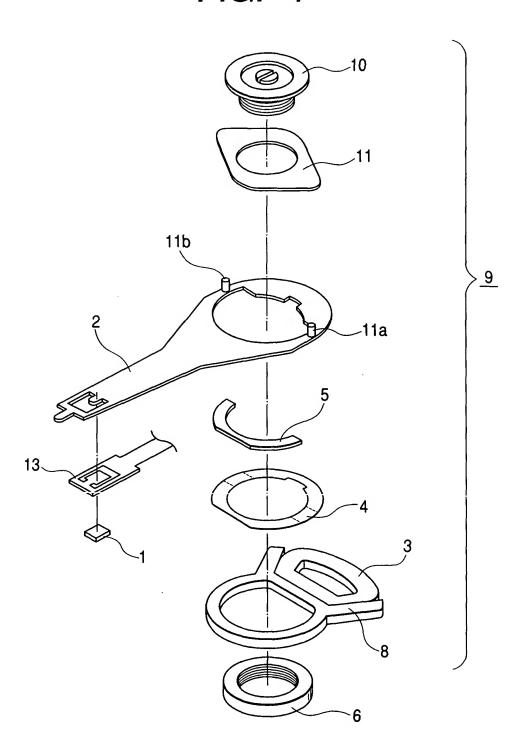


FIG. 4



4 / 20

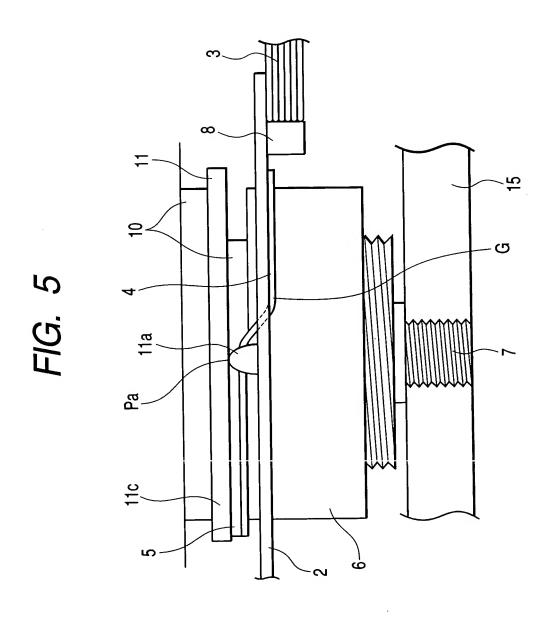


FIG. 6

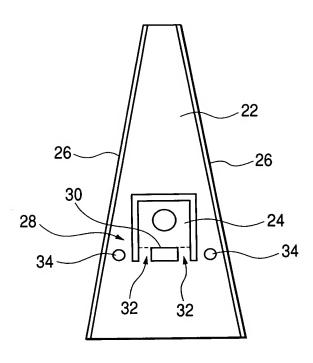
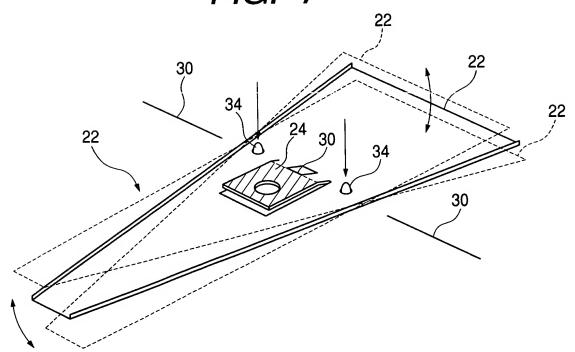
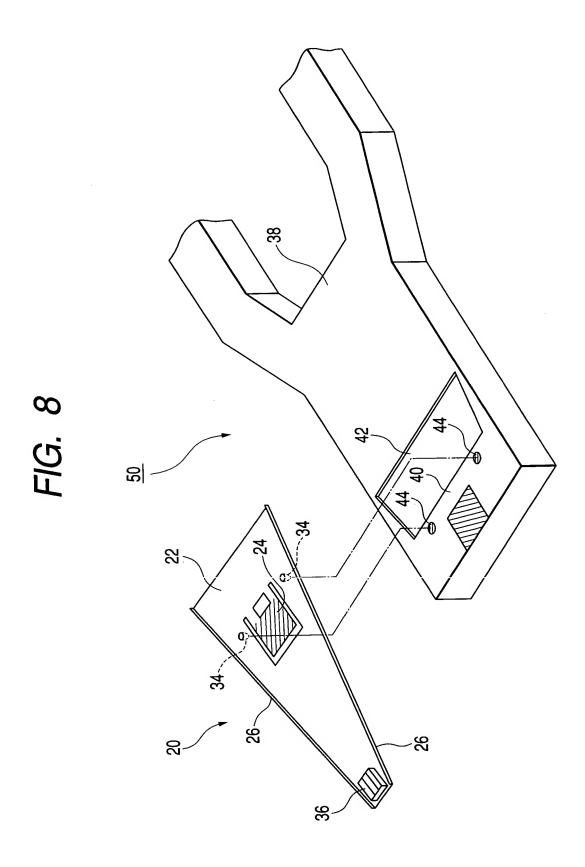


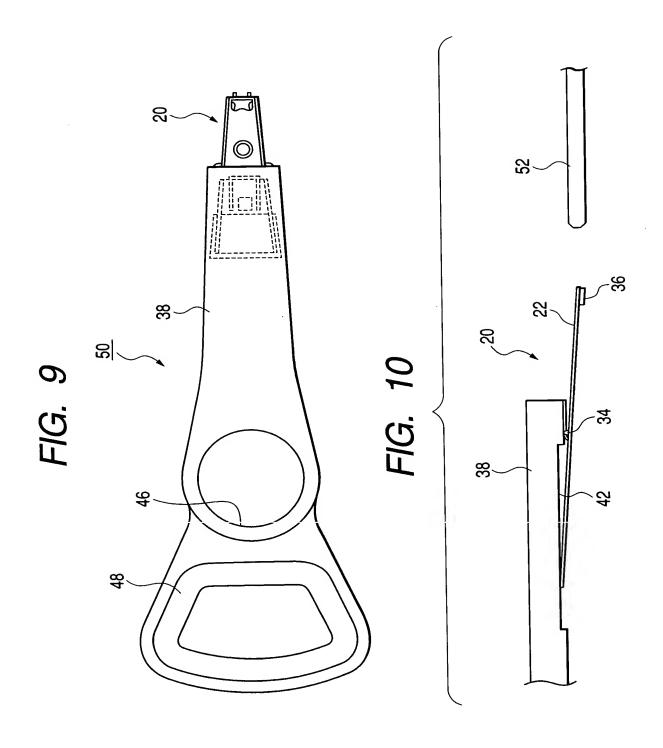
FIG. 7



6 / 20



7 / 20



8 / 20

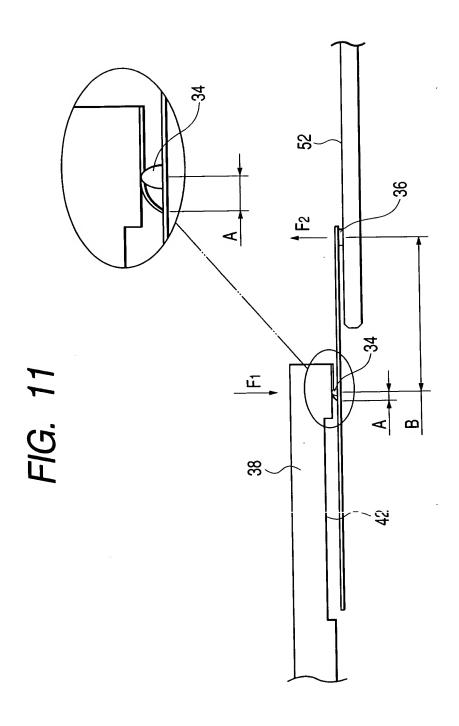
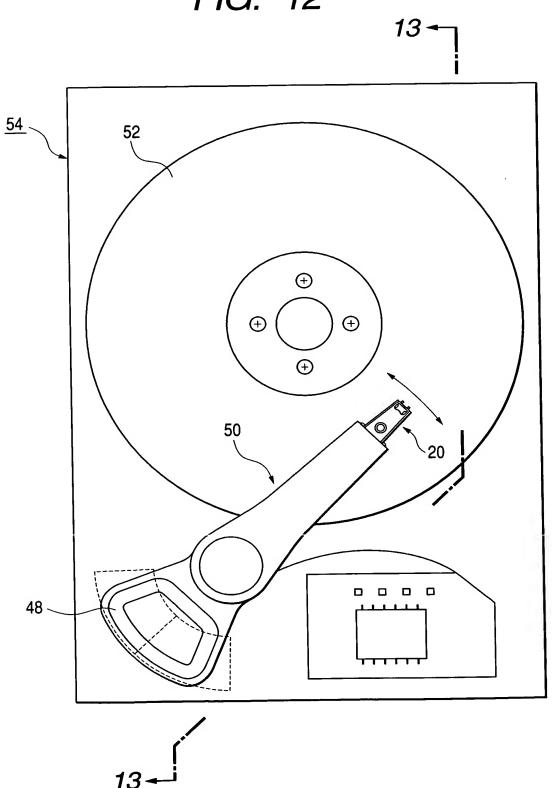
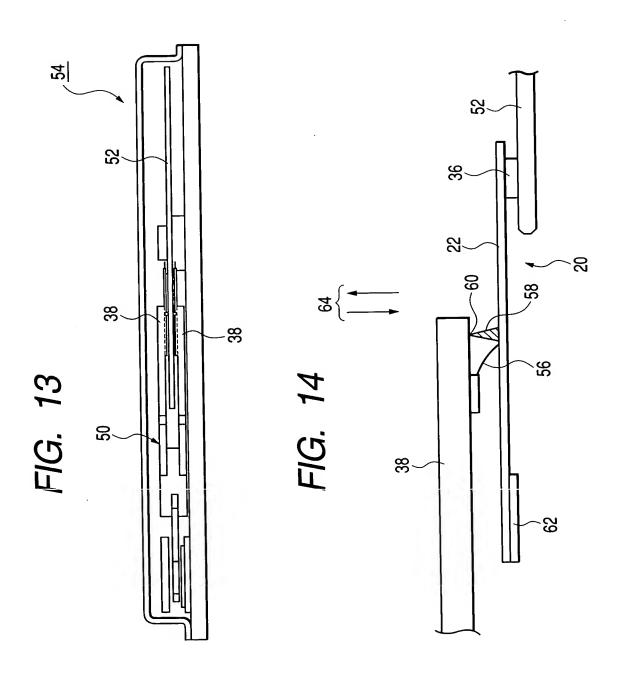


FIG. 12







11/20

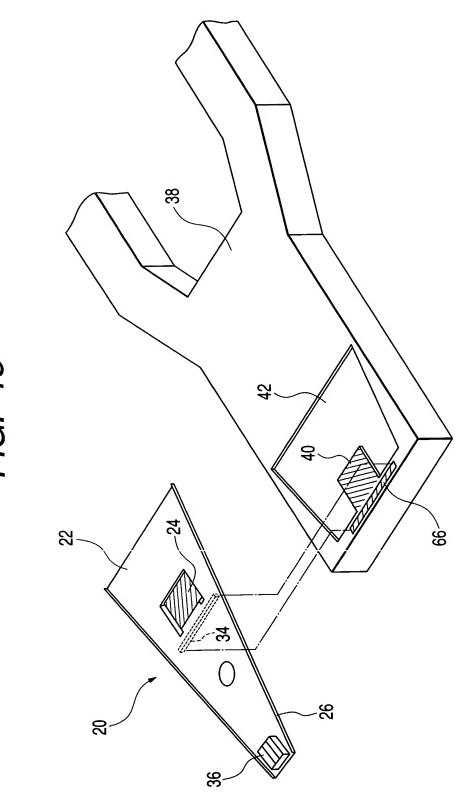


FIG. 15

FIG. 16

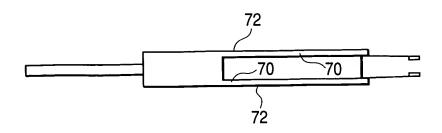


FIG. 17

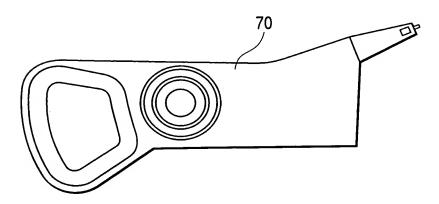


FIG. 18

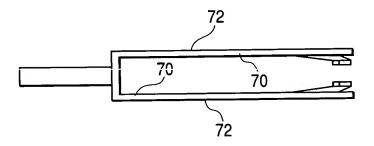
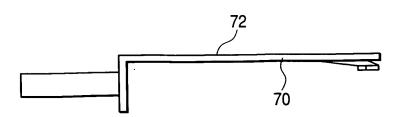
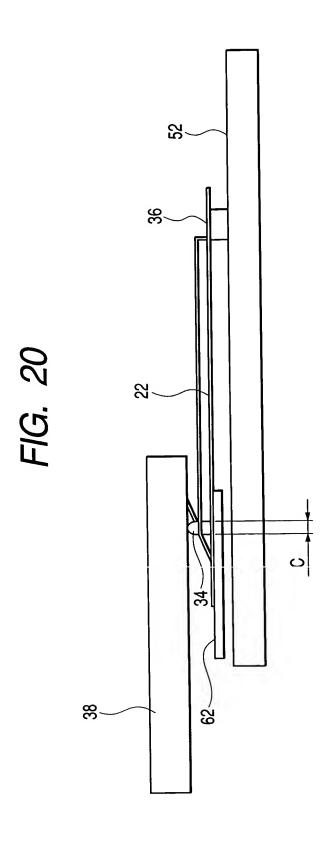


FIG. 19



13 / 20



14/20

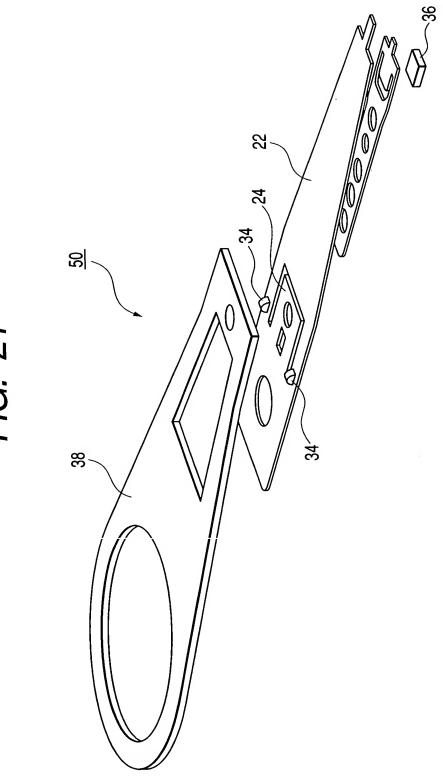


FIG. 21

FIG. 22

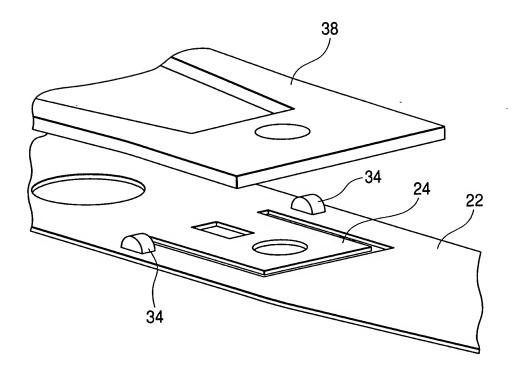
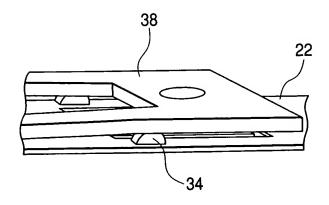
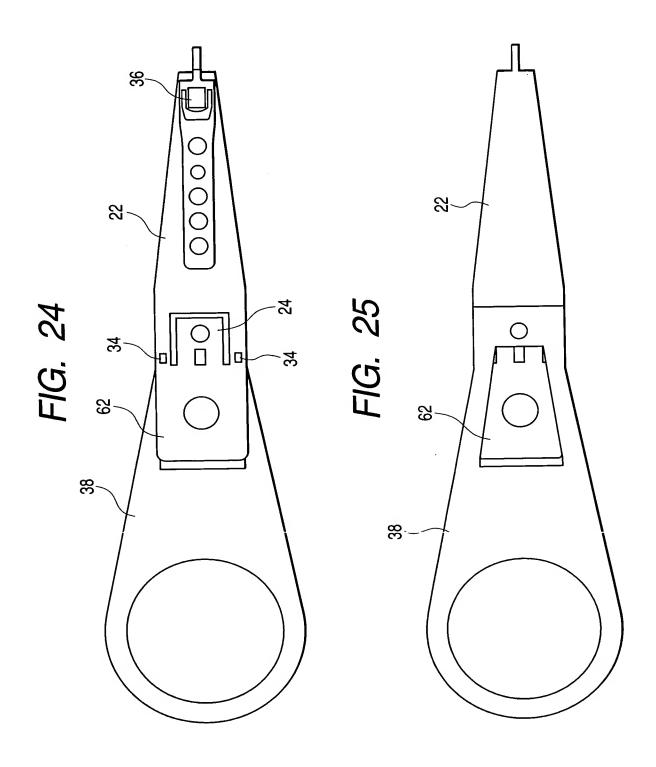


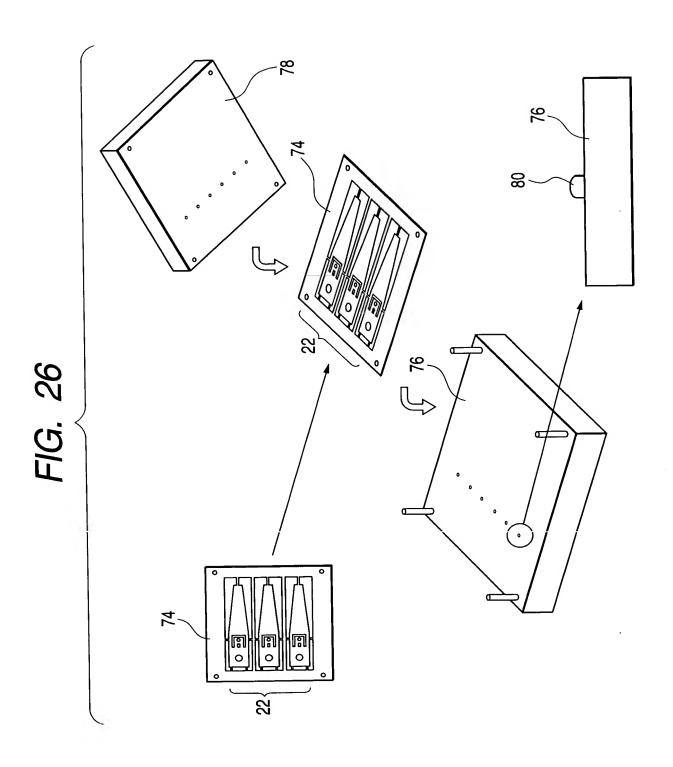
FIG. 23



16/20



17 / 20



OBLON, SPIVAK, ET AL DOCKET #:240901US2X INV: Takashi HONDA, et al. SHEET 18 OF 20

FIG. 27

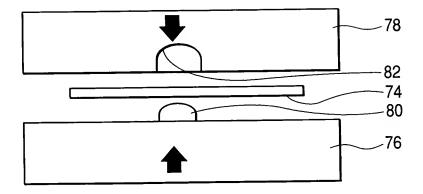


FIG. 28

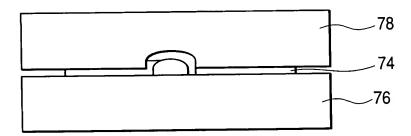


FIG. 29

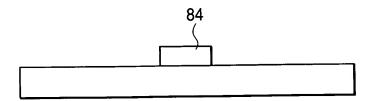
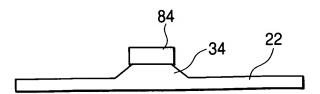


FIG. 30



OBLON, SPIVAK, ET AL DOCKET #:240901US2X INV: Takashi HONDA, et al. SHEET 19 OF 20

FIG. 31

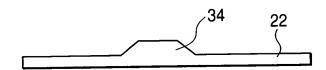
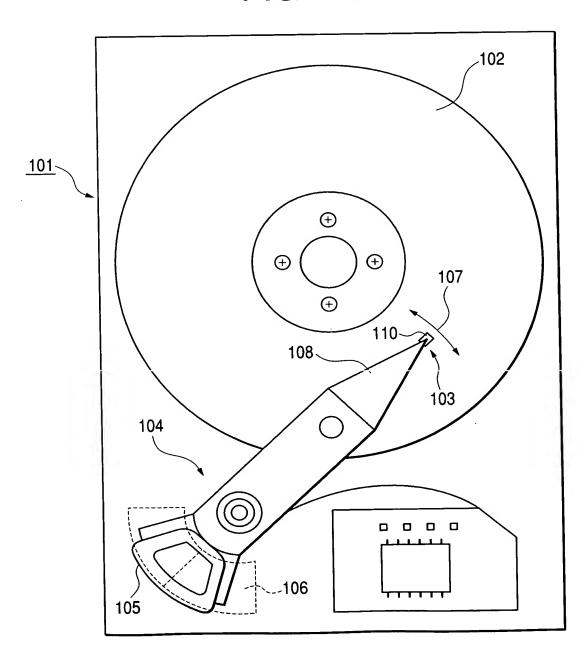


FIG. 32



20 / 20

